

الکتروانباشت فیلم‌های بس‌لایه‌ای Co-Cu/Cu و بررسی اثر پارامترهای رشد بر ساختار آنها

ایرج کاظمی‌نژاد و مرجان ذاکرین

آزمایشگاه نانوتکنولوژی، گروه فیزیک، دانشگاه شهید چمران

(دریافت مقاله: ۸۹/۱/۲۴ - پذیرش مقاله: ۸۹/۹/۱۷)

چکیده

در این تحقیق فیلم‌های بس‌لایه‌ای فلزی Co-Cu/Cu با زوج لایه‌های نانومتری و با استفاده از روش الکتروانباشت در محلولی حاوی سولفات مس و سولفات کبالت بر زیرلایه بس‌پلور Ti با بافت‌های قوی (۰۰۱) و (۱۰۳) و (۰۱۰) با مقادیر مختلف پارامترهای رشد مانند ولتاژ انباشت، ضخامت کل و دمای الکتروولیت تهیه شدند. سپس نانوساختار فیلم‌های تهیه شده توسط دستگاه پراش پرتوی X و ریخت‌شناسی آن‌ها توسط میکروسکوپ الکترونی روبیشی مورد مطالعه قرار گرفتند. نتایج پراش X نمونه‌ها نشان داد که بس‌لایه‌ها دارای ساختار fcc با بافت قوی (۱۱۱) می‌باشند. تصاویر SEM نمایانگر رشد ستونی Cu در نمونه‌ها است. همچنین در بس‌لایه‌هایی که تحت ولتاژ انباشت Co منفی‌تری رشد نموده‌اند، اندازه دانه‌ها و ارتفاع ستون‌های Cu کاهش می‌یابد. با افزایش ضخامت کل اثر ناهماهنگی شبکه‌ای بین لایه و زیرلایه کمتر مشاهده گردید. در نتیجه با افزایش دمای الکتروولیت اندازه دانه‌های سطحی بس‌لایه‌های تولید شده و همچنین میزان ناخالصی اتم‌های S در این بس‌لایه‌ها افزایش نسبی دارند.

واژه‌های کلیدی: الکتروانباشت، بس‌لایه Co-Cu/Cu. پارامترهای رشد، نانوساختار.

Electrodeposition of Co-Cu/Cu multilayered films and the effect of growth parameters on their structures

I. Kazeminezhad and M. Zakerin

Nanotechnology Laboratory, Physics Department, Shahid Chamran University

Abstract

Electrodeposited Co-Cu/Cu multilayered films with nano scale bilayer under different growth parameters such as deposition potential, total thickness, and electrolyte temperature were prepared from a bath of CuSO_4 and CoSO_4 on Ti polycrystalline with (101), (103), and (001) strong texture substrates. Nanostructure and morphology of the deposits were respectively studied using X-ray diffractometer and scanning electron microscope. The XRD results showed that the multilayers have fcc structure with (111) strong texture. It was found that the growth of Cu is columnar and under more negative Co deposition potential their grain size and height of the Cu column tend to be decreased. It was observed that when total thickness increases the effect of lattice mismatch between the film and substrate decreases. Finally, the surface grain size and also concentration of impurity atoms such as S relatively increase with increasing electrolyte temperature.

Keywords: Electrodeposition, Co-Cu/Cu Multilayer, Growth parameters, Nanostructure.

E-mail of corresponding author: I.Kazeminezhad@scu.ac.ir

مقدمه

بس‌بلور Ti با بافت‌های قوی (۰۰۱)، (۱۰۱) و (۱۰۳) به روش الکتروانباشت تهیه شدند. الکتروولیت شامل ۹ گرم $\text{CuSO}_4 \cdot 5\text{H}_2\text{O}$ ، ۱۱۵ گرم $\text{CoSO}_4 \cdot 7\text{H}_2\text{O}$ و ۳۰ گرم H_3BO_3 در یک لیتر آب مقطمر یون‌زدایی شده به کار برده شد. pH محلول برابر ۴ کنترل گردید. H_3BO_3 به عنوان بافری جهت ثبیت pH و جلوگیری از اکسیداسیون Co به محلول اضافه شده است. الکتروانباشت در یک سلول سه الکتروودی با استفاده از یک دستگاه پای‌پتانسیل با کنترل کامپیوترا انجام شده است. به منظور هموار نمودن سطح زیرلایه و در نتیجه افزایش کیفیت فیلم‌ها، ابتدا هر زیرلایه به روش مکانیکی و سپس به روش الکتروشیمیایی صیقل داده شد. در روش مکانیکی سطح زیرلایه توسط سمباده‌ای با دانه‌های میکرونی هموار گردید. در روش الکتروشیمیایی، زیرلایه با استفاده از ۵٪ H_2SO_4 محلول در نیم لیتر اتانول تحت ولتاژ ۲۰-۳۰V صیقل داده شد. سپس هر زیرلایه با ۱۰٪ H_2SO_4 و آب مقطمر یون‌زدایی شده تمیز و خشک گردید. به منظور کنترل مساحت نمونه‌ها هر زیرلایه توسط ماسکی با مساحت مشخص پوشانده شد. برای جلوگیری از اکسیداسیون سطح صیقل داده شده، زیرلایه بالافاصله در الکتروولیت قرار می‌گیرد.

برای تعیین ولتاژ بهینه انباشت Co و آزمون CV محلول انجام شد. شکل ۱ یک منحنی CV نوعی الکتروولیت برای زیرلایه Ti با آهنگ روبش $s^{-1} 15\text{ mV}^{-1}$ را برای دو چرخه کامل نشان می‌دهد. همان‌طور که مشاهده می‌شود یون‌های Cu^{+2} از پتانسیل $V_{-0,1}$ - تا $V_{-0,85}$ (ناحیه ۱) و $V_{-0,77}$ - تا $V_{-0,55}$ (ناحیه ۲) احیا می‌گردد و در بازه $V_{-0,55}$ - $V_{-0,1}$ روبش جریان کاتدی این یون‌ها ثابت می‌ماند.

بنابراین در این محدوده از پتانسیل، انباشت Cu به صورت پخش محدود است (ناحیه ۲). این نتیجه به علت کمبود نسبی غلظت یون‌های Cu^{+2} در محلول قابل انتظار بود. ناحیه احیای یون‌های Co^{+3} (ناحیه ۳) به علت فروتنی غلظت آن‌ها نسبت به یون‌های Cu^{+2} (در این جا ۱۵ برابر) خطی است. قله‌های مشاهده شده در ناحیه انباشت Cu به کنده شدن اتم‌های Co که تاکنون در طی چرخه انباشت شده‌اند مربوط

سیستم‌های بس‌لایه‌ای مغناطیسی و غیرمغناطیسی مانند سیستم‌های Co-Cu/Cu و Ni-Cu/Cu از اهمیت زیادی برخوردار هستند. در این بس‌لایه‌های دو بعدی شبکه بلوری هر لایه به طور تقریباً ناگهانی پایان می‌یابد و جای خود را به شبکه بلوری لایه دیگر می‌دهد. به علت تغییر ترکیب این بس‌لایه‌ها در سطوح و فصل مشترک‌ها، حالت‌های الکترونی جایگزیده، افزایش دو قطبی مغناطیسی، ناهمسانگردی مغناطیبلوری و نظم مغناطیسی خاصی ایجاد می‌شود. این پدیده‌ها باعث ایجاد خواص جالبی مانند آثار مغناطیوالپتیکی (MOKE)، مغناطیومقاومت ناهمسانگرد (AMR) و مغناطیومقاومت بزرگ (GMR) می‌گردد [۱].

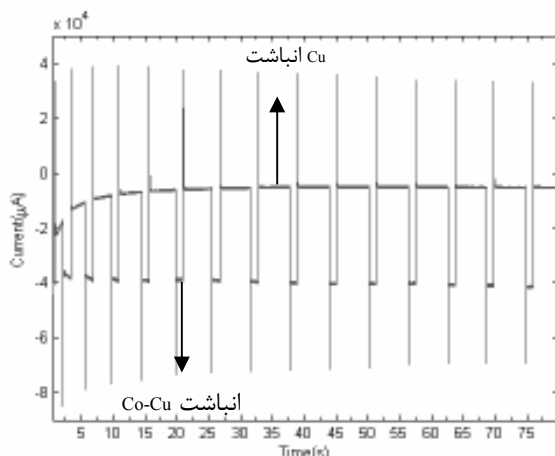
برای رشد این بس‌لایه‌ها روش‌های مختلفی وجود دارد که از میان آن‌ها می‌توان به روش کندوپاش، روآراستی پرتو مولکولی، تبخیر حرارتی و الکتروانباشت اشاره کرد. الکتروانباشت به دلیل ارزانی و قابلیت انعطاف بالا جایگاه ویژه‌ای در این میان دارد. این روش برای اولین بار در سال ۱۹۳۲ توسط Dehlinger و Geisen برای ساخت برج میانبر به کار برده شد [۲]. امروزه این روش با موفقیت در تولید نانوساختارهای مختلف نظری نانوذرات، نانو سیم‌ها، نانو فیلم‌های آلیاژی و بس‌لایه‌ای فلزی به کار گرفته می‌شود [۳-۵]. از آنجایی که ساختار بس‌لایه‌های الکتروانباشت شده به پارامترهای مختلفی مانند شیمی الکتروولیت، پتانسیل انباشت، ضخامت زوج لایه‌ها، ضخامت کل، دمای الکتروولیت، pH الکتروولیت و نوع زیرلایه بستگی دارد [۶ و ۷]، در این تحقیق پس از ساخت بس‌لایه‌های Co-Cu/Cu به روش الکتروانباشت تأثیر چند پارامتر مهم رشد نظری ولتاژ انباشت Co، ضخامت کل و دمای الکتروولیت بر نانو ساختار این بس‌لایه‌ها با استفاده از دستگاه پراش پرتوی X (XRD) و میکروسکوپ الکترونی روبشی (SEM) مورد مطالعه قرار گرفته است.

مواد و روش آزمایش‌ها

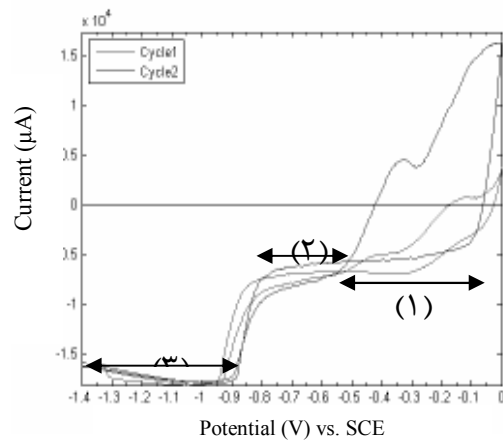
در این تحقیق بس‌لایه‌ای Co-Cu/Cu بر روی زیرلایه‌های

جريان Cu^{+} به مقدار ثابتی می‌رسد، زیرا میزان یون‌های Cu^{+} پخش شده به سمت کاتد با میزان یون‌های Cu^{+} احیاء شده روی سطح آن برابر می‌شود و در واقع یک حالت پایا تشکیل می‌گردد. این پدیده تأییدی بر جريان پخش محدود مورد اشاره در نمودار CV شکل ۱ است. علاوه بر اين در انباشت هر لایه Cu ، ابتدا افت کوچکی در جريان مشاهده می‌شود. اين جريان مربوط به کنده شدن اتم‌های Co از لایه $\text{Co}-\text{Cu}$ قبلی است. اما پس از گذشت مدت زمان کوتاهی چون اين لایه توسط اتم‌های Cu پوشانده می‌شود، کنده شدن اتم‌های Co متوقف می‌گردد.

پس از بررسی رفتار پتانسیودینامیکی الکتروولیت و همچنین نمودار جريان-زمان، در ادامه سه مجموعه از بس‌لایه‌های $\text{Co}-\text{Cu}/\text{Cu}$ با شرایط رشد متفاوت تهيه شدند. بس‌لایه‌های دوم مجموعه اول با ضخامت کل و ولتاژ انباشت Co متفاوت و بس‌لایه‌های مجموعه سوم در الکتروولیتی با دماهای مختلف تهيه شدند و مورد مطالعه قرار گرفتند.



شکل ۲. نمودار جریان-زمان چند زوج لایه اول بس‌لایه $\text{Co}-\text{Cu}(5\text{nm})/\text{Cu}(3\text{nm})$ که در آن لایه Cu تحت ولتاژ -0.6 V و لایه $\text{Co}-\text{Cu}$ تحت ولتاژ -1.1 V بر زیرلایه Ti رشد یافته‌اند، را نمایش می‌دهد. این نمودار نشان می‌دهد که با وجود ضخامت اسیمی کمتر لایه Co نسبت به لایه Cu مدت زمان انباشت لایه Cu طولانی‌تر از مدت زمان انباشت Co است، زیرا غلظت نسبی یون‌های Cu^{+} موجود در الکتروولیت کم است. در مقابل غلظت زیاد یون‌های Co^{+} باعث شده است که جریان الکتریکی در هنگام انباشت لایه $\text{Co}-\text{Cu}$ بسیار بیشتر از جریان الکتریکی در هنگام انباشت لایه Cu باشد. همان گونه که مشاهده می‌شود بعد از چند زوج لایه ابتدایی (بسته به ضخامت زوج لایه)



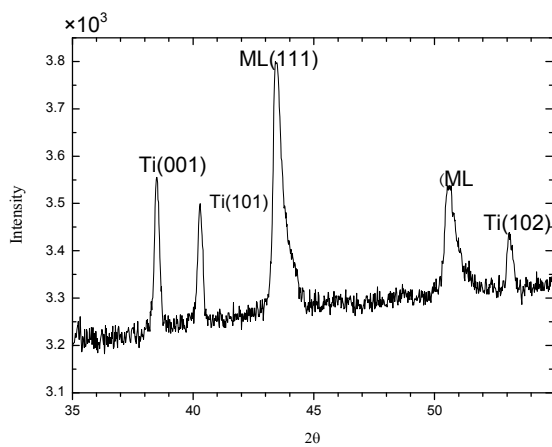
شکل ۱. منحنی CV الکتروولیت برای زیرلایه Ti با آهنگ 1.5 mV s^{-1} . منطقه (۱) و (۲) مربوط به ناحیه انباشت Cu ترتیب پخش غیر محدود و پخش محدود است. منطقه (۳) مربوط به ناحیه انباشت $\text{Co}-\text{Cu}$ است.

می‌شوند زیرا Cu فلزی نجیب‌تر از Co است و به هنگام اعمال پتانسیل جهت انباشت Cu اتم‌های Co انباشت شده قبلی خود را مقابله پتانسیل مثبت‌تری یافته و اکسید شده و دوباره در الکتروولیت حل می‌شوند. با استفاده از این منحنی ولتاژهای بهینه جهت انباشت Cu برابر -0.6 V و جهت انباشت Co در بازه -1 V تا -1.1 V تعیین گردیدند. این مقادیر با نتایج گزارش شده توافق خوبی دارند [۶].

بس‌لایه‌های $\text{Co}-\text{Cu}/\text{Cu}$ با استفاده از پتانسیل‌های بهینه مذکور توسط یک دستگاه پای‌پتانسیل انباشت شدند. جريان مدار در هر لحظه از زمان در حين رشد ثبت می‌گردد. شکل ۲ نمودار جریان-زمان برای چند زوج لایه اول بس‌لایه شامل $[200 \times \text{Co}-\text{Cu}(5\text{nm})/\text{Cu}(3\text{nm})]$ که در آن لایه $\text{Co}-\text{Cu}$ تحت ولتاژ -1.1 V و لایه Cu تحت ولتاژ -0.6 V رشد یافته‌اند، را نمایش می‌دهد. این نمودار نشان می‌دهد که با وجود ضخامت اسیمی کمتر لایه Co مدت زمان انباشت Co این انباشت لایه Cu طولانی‌تر از مدت زمان انباشت Co است، زیرا غلظت نسبی یون‌های Cu^{+} موجود در الکتروولیت کم است. در مقابل غلظت زیاد یون‌های Co^{+} باعث شده است که جریان الکتریکی در هنگام انباشت لایه $\text{Co}-\text{Cu}$ بسیار بیشتر از جریان الکتریکی در هنگام انباشت لایه Cu باشد. همان گونه که مشاهده می‌شود بعد از چند زوج لایه ابتدایی (بسته به ضخامت زوج لایه)

نتایج و بحث

گروه اول شامل $[\text{Co}-\text{Cu}(5\text{ nm})/\text{Cu}(3\text{ nm})] \times 50$ با اعمال ولتاژهای -0.6 V برای انباشت لایه Cu و -1.1 V برای انباشت لایه $\text{Co}-\text{Cu}$ و گروه دوم شامل $[\text{Co}-\text{Cu}(5\text{ nm})/\text{Cu}(3\text{ nm})] \times 200$ با ولتاژهای مشابه



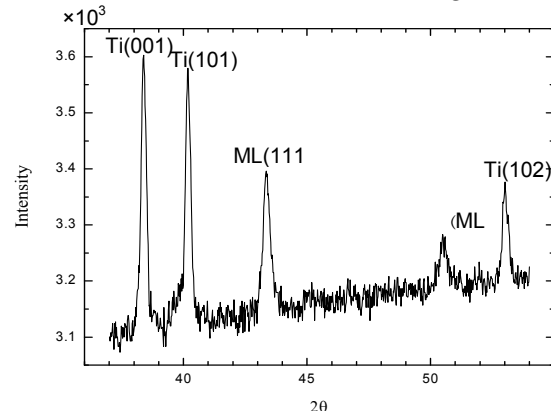
شکل ۴. طیف XRD یک نمونه گروه دوم شامل $200 \times [\text{Co-Cu}(5\text{nm})/\text{Cu}(3\text{nm})]$ با ولتاژ 20V . -جهت Co-Cu و 1V -جهت انباست لایه Cu

نسبت شدت قله‌های بس‌لایه‌ای در دو راستای (۱۱۱) و (۲۰۰) به مجموع شدت این دو قله در هر گروه نشان می‌دهد که در بس‌لایه‌های گروه اول حدود ۷۰٪ ساختار در راستای (۱۱۱) و حدود ۳۰٪ آن در راستای (۲۰۰) است و در گروه (۱۱۱) و حدود ۷۵٪ ساختار در راستای (۱۱۱) و ۲۴٪ در راستای (۲۰۰) است. بنابراین تمايل رشد بس‌لایه‌های گروه دوم (با ضخامت بیشتر) در راستای (۱۱۱) بیشتر است زیرا در بس‌لایه‌های ضخیم‌تر اثر ناهماهنگی شبکه‌ای ناشی از (Cu) و (Co) زیرلایه Ti (با ثابت شبکه بسیار متفاوت نسبت به Co و Cu) می‌یابد بنحوی که در زوج لایه‌های پایانی، اتم‌های Co کاوش می‌یابد. در ساختار Co-Cu می‌توان به وجود اتم‌های Co و Cu اثر زیرلایه Ti را احساس نخواهد کرد. علاوه بر این مشاهده شد که در بس‌لایه‌های انباست شده در هر دو گروه شدت نسبی قله‌ها با تغییر ولتاژ روند منظمی ندارد. مطالعه سطح نمونه‌ها توسط میکروسکوپ الکترونی روبشی (SEM) مدل Leo1455 VP صورت گرفت. شکل ۵ (الف) و ۵ (ب) به ترتیب تصاویر SEM دو نمونه از گروه یک با ولتاژ 1V و با لایه بالایی Co-Cu را نشان می‌دهد. در هر دو مورد رشد Co به صورت جزیره‌ای و لایه‌ی زیرین Cu دارای رشد ستونی است. با مقایسه دو تصویر مشاهده می‌شود که با کاهش ولتاژ اندازه دانه‌ها بزرگ‌تر و ارتفاع ستون Cu نیز افزایش می‌یابد.

در هر دو تصویر ساختار هرمی رشد یافته بر روی سطح به وضوح قابل مشاهده می‌یابد. این هرم‌ها نانوساختارهای خود

تهیه شدند. در واقع بس‌لایه‌ها در این دو گروه فقط در ضخامت کل با هم متفاوتند. ساختار و ریخت شناسی این بس‌لایه‌ها به ترتیب توسط XRD در گستره‌ی زاویه‌ای 55° - $2\theta=37^\circ$ با تابش طول موج $\text{CuK}\alpha$ $\lambda=1.54\text{\AA}$ و SEM مطالعه قرار گرفت.

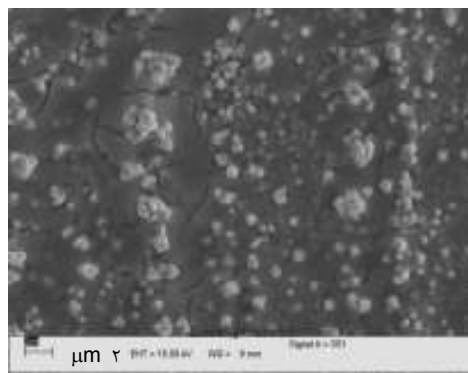
در طیف XRD نمونه‌های انباست شده هر گروه با ولتاژهای مختلف Co تفاوت چندانی مشاهده نگردید. طیف‌های XRD نمونه‌های رشد یافته با ولتاژ نوعی V-1 گروه اول و دوم به ترتیب در شکل‌های ۳ و ۴ نمایش داده شده‌اند. هر دو طیف ساختار مکعبی مرکز سطحی (fcc) با جهت‌گیری غالب در راستای (۱۱۱) این بس‌لایه‌ها (ML) را نشان می‌دهند. از طرفی بازتاب‌های برآگ فاز (fcc) هیچ‌گونه شکافتگی به صورت قله‌های fcc-Cu و fcc-Co-Cu ندارند که این نشان دهنده همدوسی خوب بین لایه‌های فرومغناطیسی و دیامغناطیسی می‌باشد، این موضوع با نتایج گزارش شده در توافق است [۸]. بنابراین با وجود این که Co دارای دو ساختار fcc و hcp است در این بس‌لایه‌ها بیشتر ساختار آن مشاهده گردید. همچنین در هر دو طیف بازتاب‌های قله‌های اقماری مربوط به ساختار ابرشبکه‌ای بس‌لایه‌ها مشاهده نمی‌شود. علت آن را می‌توان به رشد جزیره‌ای لایه Co-Cu و همچنین رشد ستونی مناطق غنی از Cu مربوط دانست. در واقع وجود این ستون‌ها باعث کاهش تیزی فصل مشترک بین دو لایه و در نتیجه عدم ظهر قله‌های اقماری در طیف XRD می‌گردد.



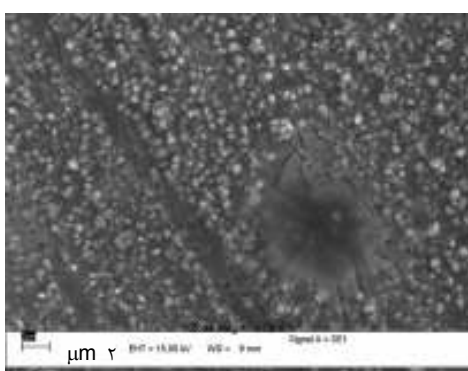
شکل ۳. طیف XRD یک نمونه گروه اول شامل $50 \times [\text{Co-Cu}(5\text{nm})/\text{Cu}(3\text{nm})]$ با ولتاژ 20V . -جهت Co-Cu و 1V -جهت انباست لایه Cu

شکل ۶ تصاویر SEM دو نمونه گروه دوم با لایه بالای Co-Cu را نشان می‌دهند. از مقایسه این دو تصویر به روشنی می‌توان دید که با کاهش ولتاژ انباشت Co-Cu اندازه دانه‌های Cu بزرگ‌تر و ارتفاع ستونهای آن نیز بیشتر می‌شود (شکل الف). علاوه بر این تصاویر مذکور دو مد رشد متمایز لایه‌ی Co به صورت لایه به لایه (شکل الف) و لایه به اضافه جزیره (شکل ب) را نشان می‌دهند. در واقع به نظر می‌رسد که یک پادتقارنی بین رفتار هسته‌بندي Co بر روی Cu و Cu بر روی Co وجود دارد. این رفتار متفاوت به اختلاف انرژی سطحی دو فلز مربوط می‌گردد. در یک ضخامت مشخص، لایه Cu به دلیل رشد ستونی قادر به پوشانیدن کامل سطح Co نیست اما لایه Co در همان ضخامت مشخص به دلیل نوع متفاوت مد رشد آن قادر به پوشاندن سطح Cu است [۱۲].

علاوه بر این در تصاویر SEM گروه دوم ترک‌هایی بر سطح بس‌لایه‌ها مشاهده می‌شود. وجود این ترک‌ها که بیشتر به

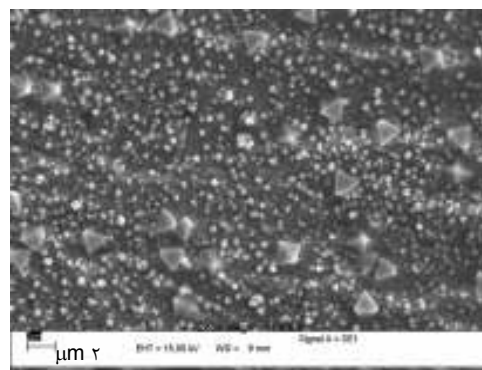


(الف)

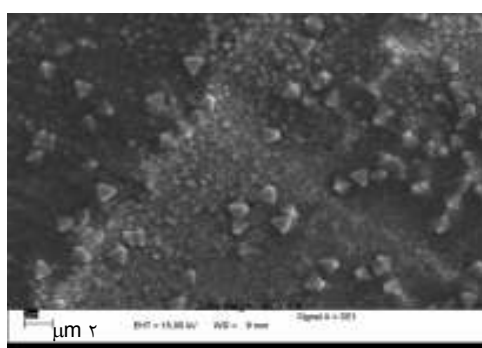


(ب)

شکل ۶. تصاویر SEM برای دو نمونه گروه دوم با ولتاژهای $-V_{\text{DC}}$ و $-V_{\text{DC}} + 4V$ (ب) جهت انباشت لایه Co-Cu.



(الف)



(ب)

شکل ۵. تصاویر SEM دو نمونه از گروه اول شامل $50\times[\text{Co-Cu}(5\text{nm})/\text{Cu}(3\text{nm})]$ - (الف) و Co-Cu با لایه بالای $-V_{\text{DC}} + 4V$ - (ب).

آرایش یافته‌ای هستند که توسط ناپایداری کلاسیکی Ehrlich-Schwoebel-Villain القا شده‌اند [۹]. در واقع به هنگام رشد لایه، ابتدا اتم‌ها به یکدیگر نزدیک شده و هسته را تشکیل می‌دهند و سپس هسته‌ها به جزیره تبدیل می‌شوند. ساختار دو بعدی یا سه بعدی این جزیره‌ها به بستگی دارد به این که آیا اتم‌ها به راحتی می‌توانند از بالای جزیره‌ها پایین آیند و به جمع اتم‌های لایه در حال رشد اضافه شوند. Zhu و همکارانش [۱۰] با استفاده از نظریه تابعی چگالی نشان دادند که بر سطوح (۱۱۰) بسیاری از فلزات، اتم‌ها از طریق اتصال به لبه پله‌های به وجود آمده در حین رشد از این پله‌ها بالا می‌روند. همچنین نتیجه محاسبات نشان می‌دهد که سد انرژی برای این حرکت رو به بالا می‌تواند کمتر از سد انرژی مربوط به حرکت رو به پایین باشد. بدین ترتیب در صورتی که اتم‌ها تمایل به حرکت رو به بالا داشته باشند چنین هرم‌هایی تشکیل خواهند شد [۱۱].

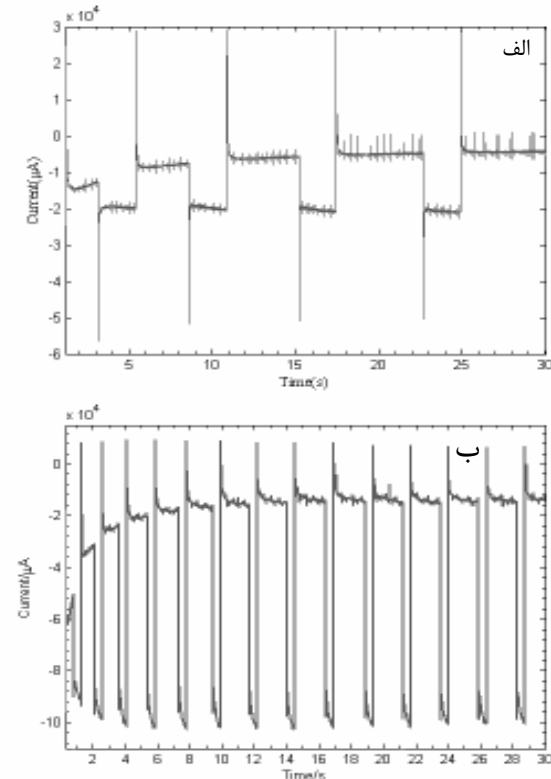
همان‌طور که مشاهده می‌شود در یک فاصله زمانی یکسان (در این جا 30 ثانیه) تعداد زوج لایه‌های انباشت شده در دمای 63°C از تعداد آن‌ها در دمای 30°C بیش‌تر است. دلیل این امر به افزایش رسانندگی الکتروولیت در اثر افزایش دمای آن مربوط می‌شود. همچنین مشاهده می‌شود که با افزایش دما جریان انباشت لایه‌های Cu و Co افزایش می‌یابد. همان‌گونه که قبلاً اشاره شد در اثر به مصرف رسیدن یون Cu^{2+} در اطراف کاتد، غلظت این یون‌ها در اطراف این الکترود کم می‌شود. اکنون با افزایش دمای محلول جنب و جوش این یون‌ها افزایش یافته و در نتیجه جریان پخش یون‌های Cu^{2+} به سمت کاتد افزایش می‌یابد که این موضوع به نوبه خود به افزایش جریان ناشی از این یون‌ها منجر می‌شود. منشأ افزایش پنج برابری جریان Co در دمای 63°C نیز افزایش نسبی تحرک یون‌های Co^{2+} نیز است.

طیف‌های XRD تمام نمونه‌های تهیه شده در بخش ۲-۲ ساختار مکعبی مرکز سطحی (fcc) با جهت‌گیری غالب در راستای (۱۱۱) را برای بس‌لایه‌ها نشان دادند. شکل ۸ طیف XRD نمونه‌های تهیه شده در الکتروولیتی با دو دمای 30°C (الف) و 63°C (ب) را نشان می‌دهد. از مقایسه این طیف‌ها مشاهده می‌شود که در دمای 63°C با افزایش دما شدت قله‌های بس‌لایه‌ای افزایش یافته و پهنای قله‌های آن کاهش می‌یابد. شدت نسبی قله‌های بس‌لایه‌ای (۱۱۱)، (۲۰۰) و (۲۲۰) در دمای 30°C نشان می‌دهد که 65.3% ساختار در راستای (۱۱۱)، 18.9% آن در راستای (۲۰۰) و 15.8% آن در راستای (۲۲۰) است. از طرف دیگر در دمای 63°C ساختار در راستای (۱۱۱)، 23.8% آن در راستای (۲۰۰) و 12.7% آن در راستای (۲۲۰) است. این نتایج نشان می‌دهند که با افزایش دمای الکتروولیت از شدت جهت تمایل به رشد سیستم یعنی جهت (۱۱۱) و نیز جهت (۲۲۰) کاسته می‌شود و در عوض رشد در راستای (۲۰۰) افزایش می‌یابد. علاوه بر این قله مربوط به ناخالصی گوگرد نیز به خوبی مشاهده می‌شود.

تصاویر SEM نمونه‌های بخش ۲-۲ که در الکتروولیتی با دماهای 30°C ، 43°C و 63°C رشد یافته‌اند در شکل

تولید رشد ستونی Cu مربوط می‌شود مانع از تشکیل یک فصل مشترک تیز بین زوج لایه‌ها خواهد شد. عدم مشاهده قله‌های اقماری در طیف XRD نیز ناشی از همین معجل است.

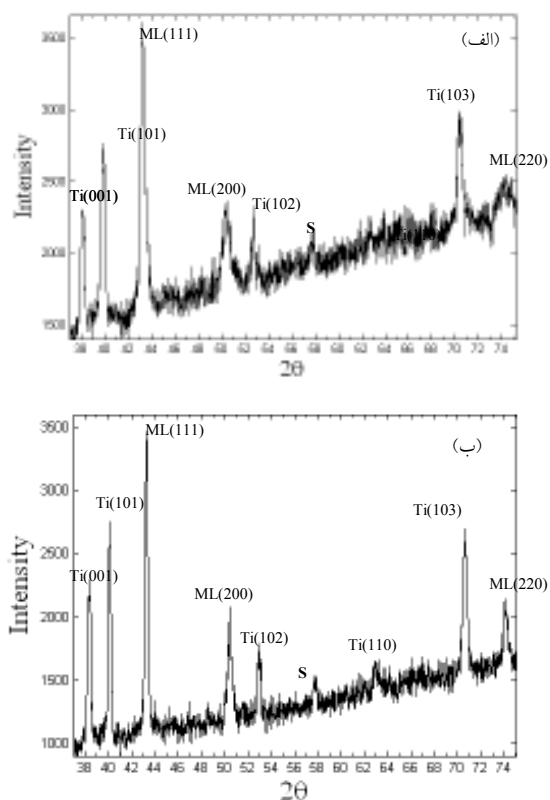
دمای الکتروولیت یکی از عوامل مؤثر در رشد بس‌لایه‌های فلزی است زیرا با افزایش دمای الکتروولیت ضربی پخش و شار یون عنصر مورد انباشت به سمت کاتد افزایش می‌یابد. جهت بررسی اثر تغییر دمای الکتروولیت بر ساختار بس‌لایه‌های Co-Cu/Cu مجموعه سوم شامل هفت نمونه بس‌لایه پتانسیل‌های $V_{1/1}$ و $V_{6/6}$ به ترتیب جهت انباشت لایه‌های Co-Cu و Cu تحت دماهای مختلف الکتروولیت (از 30°C تا 63°C با فاصله دمایی 10°C) تهیه شدند. شکل‌های ۷ الف و ب به ترتیب نمودارهای جریان-زمان نمونه‌های تهیه شده در الکتروولیتی با دماهای 30°C و 63°C را نشان می‌دهد.



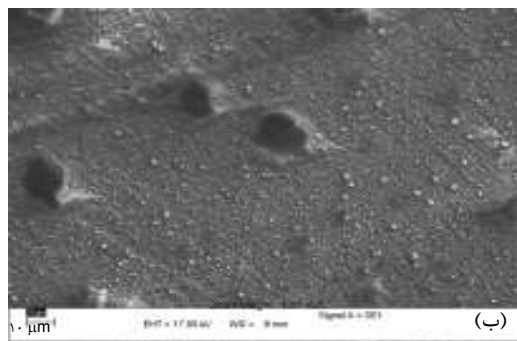
شکل ۷. نمودار جریان بر حسب زمان نمونه‌ای شامل $[3\text{nm}/\text{Co-Cu}(5\text{nm})/\text{Cu}]_{100\times}$ با ولتاژ $V_{1/1}$ و $V_{6/6}$ -جهت انباشت Cu تهیه شده در الکتروولیتی با دمای 30°C و 63°C (الف) و (ب).

۹ نشان داده شده‌اند. مشاهده می‌شود که با افزایش دما اندازه‌ی دانه‌های سطحی Cu کاهش می‌یابد و از حدود 100 nm در دمای 30°C به 30 nm در دمای 63°C می‌رسد که این مشاهده با یافته‌های حاصل از طیف XRD یعنی کاهش پهنای قله‌ها با افزایش دما را تأیید شده همچنین مشاهده می‌شود که در نمونه رشد یافته در دمای 30°C علت کم شدن حرکت یون‌ها در محلول نقص نسبی ساختار زیاد است و در نمونه رشد یافته در دمای 63°C سطح فیلم به صورت پله‌ای درآمده است. این مد رشد از نوع Step-SEM Flow است. علاوه بر این در بررسی تصاویر مشخص شد که نمونه رشد یافته در دمای 13°C رشد ساختاری بسیار مناسبی دارد.

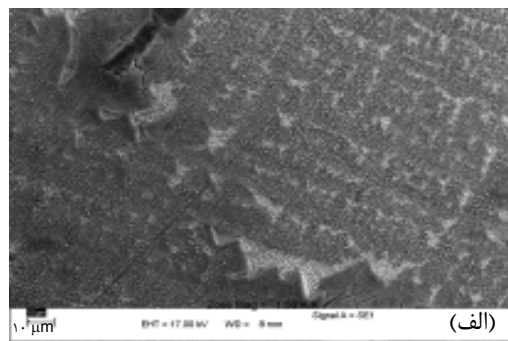
از طرف دیگر، آنالیز EDX افزایش اتم‌های ناخالصی S در بس‌لایه‌های تهیه شده در الکتروولیت با دمای بالا را تأیید می‌کند بنحوی که میزان این ناخالصی در بس‌لایه‌های تهیه شده در دمای 30°C برابر 356% و در دمای 63°C میزان آن 15% اندازه‌گیری شد. وجود گوگرد در این ساختارها به علت



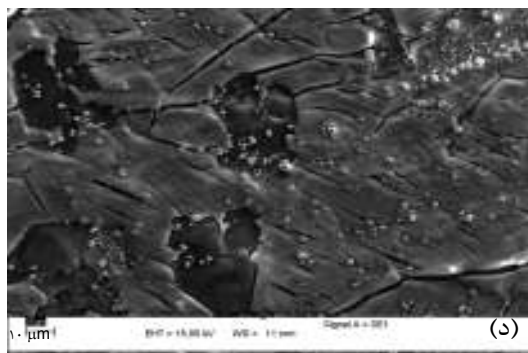
شکل ۸ طیف XRD بس‌لایه Co-Cu/Cu تهیه شده در الکتروولیتی با دمای 30°C (الف) و 63°C (ب).



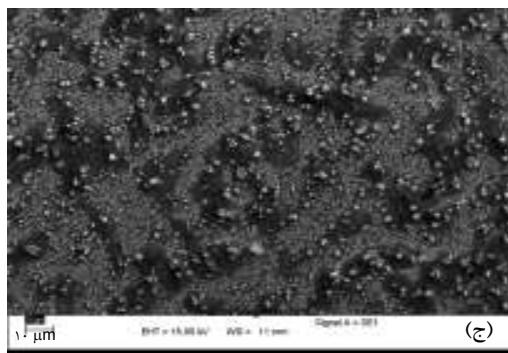
(ب)



(الف)



(د)



(ج)

شکل ۹. تصاویر SEM نمونه‌ای شامل [Co-Cu(5 nm)/Cu(3 nm)] $\times 100\times$ با ولتاژ $V=1.1$ -جهت انباشت Co و $V=6$ -جهت انباشت Cu تهیه شده در الکتروولیتی با دمای‌های (الف) 30°C ، (ب) 13°C ، (ج) 43°C و (د) 63°C .

به منظور مشاهده تأثیر دمای الکتروولیت بر رشد بس‌لایه‌های Co-Cu/Cu . این بس‌لایه‌ها تحت دماهای مختلف الکتروولیت (از 30°C تا 63°C با فاصله دمایی 10°C) تهیه شدند. مشاهده شد که با افزایش دمای الکتروولیت اندازه دانه‌های سطحی افزایش می‌یابد و میزان ناخالصی S بیشتری انباست می‌شود. تغییر دمای الکتروولیت همچنین باعث تغییر مورفولوژی بس‌لایه‌ها نیز می‌گردد بنحوی که مطالعات SEM نشان داد در دمای 30°C به علت کاهش حرکت یون‌ها در محلول نقص نسبی ساختار زیاد است و بر عکس در نمونه رشد یافته در دمای 63°C به علت افزایش حرکت یون‌ها در محلول سطح فیلم به صورت پله‌ای و مد رشد آن در این دما از نوع پله‌ای (Step-Flow) است.

منابع

1. M. N. Baibich, J. M. Brote, A. Fert, F. Nguyen Van Dau, F. Petroff, P. Etienne, G. Greuzet, A. Friederich and J. Chazelas, *Giant magnetoresistance of (001)Fe/(001)Cr magnetic superlattices*, Physical Review Letters, 61(1988)2472-2475.
2. F. Czerwinski, *The microstructure and internal stress of Fe–Ni nanocrystalline alloys electrodeposited without a stress-reliever*, Electrochimica Acta, 44(1998)667-675.
3. A. Cziraki, L. Peter, V. Weihnacht, J. Toth, E. Simon, J. Padar, L. Pogany, C. Schneider, T. Gemming, K. Wetzig, G. Tichy and I. Bakonyi, *Structure and giant magnetoresistance behavior of Co-Cu/Cu multilayers electrodeposited under various deposition conditions*, Journal of Nanoscience and Nanotechnology, 6(2006)2000-2012.
4. X. Li, G. Ding, T. Ando, M. Shikida and K. Sato, *Micromechanical characterization of electroplated permalloy films for MEMS*, Microsystem Technologies, 14(2008)131-133.
5. I. Kazeminezhad and W. Schwarzacher, *Electrodeposited Ni–Cu alloy nanowires with arbitrary composition*, Electrochemical and Solid-State Letters, 11(2008)K24-K26.
6. L. Peter, Q. Liu, Z. Kerner and I. Bakonyi, *Relevance of the potentiodynamic method in parameter selection for pulse-plating of Co-Cu/Cu multilayers*, Electrochimica Acta, 49(2004)1513-1526

تهیه الکتروولیت حاوی Cu^{2+} و Co^{2+} بر پایه نمک‌های سولفات آن‌ها می‌باشد. در واقع هنگامی که دمای الکتروولیت نسبتاً بالا می‌رود، تحرک گرمایی یون‌های منفی SO_4^{2-} افزایش یافته و به سمت کاتد نیز پخش می‌شوند و در نتیجه احتمال تولید اکسیژن و آزاد شدن و انباست اتم‌های گوگرد روی کاتد افزایش می‌یابد.

نتیجه گیری

در این تحقیق بس‌لایه‌های فلزی Co-Cu/Cu الکتروانباست شده تحت تأثیر عوامل مختلف رشد مانند تغییر ولتاژ انباست Co ، ضخامت کل و دمای الکتروولیت تهیه شدند. زیرلایه بس‌بلور Ti با بافت‌های قوی (۱۰۱)، (۱۰۳) و (۱۰۰) مورد استفاده قرار گرفت. نمودار جریان - زمان این بس‌لایه‌ها نشان داد که جریان انباست لایه Co-Cu تقریباً ثابت است ولی جریان مربوط به انباست لایه Cu از نوع جریان پخش محدود است که به علت کم بودن غلظت یون‌های Cu^{2+} موجود در محلول این پدیده قابل انتظار بود. همچنین از مقایسه این نمودارها با یکدیگر مشخص گردید که با افزایش ضخامت زوج‌لایه‌ها آهنگ انباست کاهش می‌یابد. سپس بس‌لایه‌هایی با ولتاژ متفاوت انباست Co و ضخامت‌های مختلف بر زیرلایه Ti تهیه شدند و ساختار و مورفولوژی این بس‌لایه‌ها با استفاده از XRD و SEM مورد بررسی و تجزیه و تحلیل قرار گرفتند. شدت زیاد قله بس‌لایه‌ای (۱۱۱) نسبت به قله‌های بس‌لایه‌ای (۲۰۰) و (۲۲۰) تأیید می‌کند که بس‌لایه‌ها دارای بافت قوی (۱۱۱) fcc می‌باشند. بنابراین با وجود اینکه Co دارای دو ساختار hcp و fcc است در این بس‌لایه‌ها ساختار fcc غالب است. همچنین مشاهده شد که با افزایش ولتاژ انباست Co اندازه دانه‌های Cu و ارتفاع ستون‌های آن کاهش می‌یابد. با کاهش ضخامت کل بس‌لایه‌ها از طریق کاهش تعداد تکرار بس‌لایه‌ها به اندازه یک چهارم، ظهرور هرم‌های Cu بر سطح مشاهده شد. علاوه بر این هر سه نوع شیوه رشد لایه به‌لایه، جزیره‌ای و جزیره-لایه در این بس‌لایه‌ها مشاهده گردید.

7. F. Ebrahimi, A. J. Liscano, D. Kong and V. Krishnamoorthy, *Evalution of texture in electrodeposited Ni/Cu layered nanostructures*, Philosophical Magazine, 83(2003)457-476.
8. Q. X. Liu, L. Peter, J. Toth, L. F. Toth. A. Cziraki and I. Bakonyi, *The role of nucleation in the evolution of giant magnetoresistance with layer thicknesses in electrodeposited Co-Cu/Cu multilayers*, Journal of Magnetism and Magnetic Materials, 280(2004)60-74.
9. L. Golubovic, A. Levandovsky and D. Moldovan, *Epitaxial growth and erosion on (110) crystal surfaces: structure and dynamics of interfacial states*, Physical Review Letters, 89(2002)266104-4pages.
10. W. Zhu, F. Bautier de Mongeot, U. Valbusa, E. G. Wang and Z. Zhang, *Adatom ascending at step edges and faceting on fcc metal (110) surfaces*, Physical Review Letters, 92(2004)106102-4 pages.
11. K. Fichthorn and M. Scheffler, *Nanophysics: A step up to self-assembly*, Nature, 429(2004)617-618.
12. T. Eckle, G. Reiss, H. Brukl and H. Hoffman, *Electronic transport properties and thickness dependence of the giant magnetoresistance in Co/Cu multilayers*, Journal of Applied Physics, 75(1994)362-368.